

# Račun fizikalno-kemijskih količin nitridov $\text{Fe}_{2-3}\text{N}$ za temperaturi 298 in 843 K

## Calculation of the Physical - Chemical Values of Nitrides $\text{Fe}_{2-3}\text{N}$ at Temperatures 298 and 843 K

Breže Borivoj, TAM - Gospodarska vozila, Maribor

V literaturi so podane vrednosti osnovnih termodinamskih količin  $\zeta$ -nitrida  $\text{Fe}_2\text{N}$  in  $\gamma$ -nitrida  $\text{Fe}_4\text{N}$ , ne pa tudi  $\epsilon$ -nitrida  $\text{Fe}_{2-3}\text{N}$ .

Na osnovi analize faznega diagrama železo-dušik in diagrama odvisnosti reakcijske proste energije  $\Delta GR = RT \ln pN_2$  od temperature za kovinske nitride ter upoštevajoč možnost transformacije ortorombičnega  $\zeta$ -nitrida  $\text{Fe}_2\text{N}$  v heksagonalni  $\epsilon$ -nitrid  $\text{Fe}_{2-3}\text{N}$  lahko izračunamo z metodo linearne interpolacije osnovne termodinamične količine tudi za  $\epsilon$ -nitrid  $\text{Fe}_{2-3}\text{N}$ . Tako smo za  $\epsilon$ -nitride  $\text{Fe}_{2-1}\text{N}$ ,  $\text{Fe}_{2-3}\text{N}$  in  $\text{Fe}_{2-5}\text{N}$  izračunali tvorbene  $\Delta H$ ,  $\Delta S$  in  $\Delta G$  za standardne pogoje in koeficiente  $a$  in  $b$  molarne topote  $cp$ . Te vrednosti smo vstavili v izraze za račun reakcijskih  $\Delta H$ ,  $\Delta S$  in  $\Delta G$  pri temperaturi 843 K kot najpogosteji temperaturi nikotriranja (karbonitriranja). Z regresijsko analizo smo izračunali reakcijske proste energije  $\Delta GR$  za imenovane nitride kot linearne funkcije temperature od 298 do 843 K.

S pomočjo analize faznega diagrama železo-dušik smo ugotovili, da zgornja meja snovnega deleža železa v  $\epsilon$ -nitridu  $\text{Fe}_{2-3}\text{N}$  pri temperaturi okolice ni 3.0, ampak 2.5. Nitrid  $\text{Fe}_3\text{N}$  obstaja kot homogena faza šele nad 760 K.

**Ključne besede:** osnovne termodinamske količine  $\zeta$ -nitrid  $\text{Fe}_2\text{N}$ ,  $\epsilon$ -nitrid  $\text{Fe}_{2-3}\text{N}$ ,  $\gamma$ -nitrid  $\text{Fe}_4\text{N}$ , tvorbena in reakcijska prosta energija, temperatura 298 in 843 K.

In literature it is possible to find the basic thermodynamic values of  $\zeta$ -nitride  $\text{Fe}_2\text{N}$  and  $\gamma$ -nitride  $\text{Fe}_4\text{N}$ , but not the values for  $\epsilon$ -nitride  $\text{Fe}_{2-3}\text{N}$ .

By analysing the phase diagram iron-nitrogen and the diagram expressing the dependence of free reaction energies  $\Delta GR = RT \ln pN_2$  on the temperature of metal nitrides and considering the strong possibility of transformation of orthorombic  $\zeta$ -nitride  $\text{Fe}_2\text{N}$  into hexagonal  $\epsilon$ -nitride  $\text{Fe}_{2-3}\text{N}$  the basic thermodynamic values also for the  $\epsilon$ -nitride  $\text{Fe}_{2-3}\text{N}$  can be calculated, simply by using the linear interpolation method. Thus the formative  $\Delta H$ ,  $\Delta S$  in  $\Delta G$  for standard conditions and the coefficients  $a$  and  $b$  for  $cp$  were calculated for  $\epsilon$ -nitrides  $\text{Fe}_{2-1}\text{N}$ ,  $\text{Fe}_{2-3}\text{N}$  and  $\text{Fe}_{2-5}\text{N}$ . These values were inserted into expressions for calculating  $\Delta H$ ,  $\Delta S$  in  $\Delta G$  at the temperature 843 K, which is the usual temperature for NITEMPERING® or NIKOTRIEREN®(germ). By the regression analysis the free reaction energies  $\Delta GR$  for the mentioned nitrides were calculated as the linear functions of temperature from 298 to 843 K.

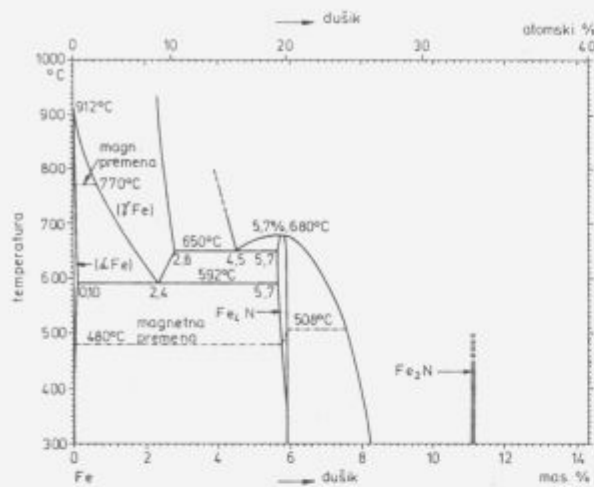
It has been established from the iron-nitrogen phase diagram that the upper limit of the atomic part of iron in the  $\epsilon$ -nitride  $\text{Fe}_{2-3}\text{N}$  at the room temperature is not 3.0 but 2.5. The nitride  $\text{Fe}_3\text{N}$  exists as the homogeneous phase only above 760 K.

**Key words:** basic thermodynamic values of  $\zeta$ -nitride  $\text{Fe}_2\text{N}$ ,  $\epsilon$ -nitride  $\text{Fe}_{2-3}\text{N}$ ,  $\gamma$ -nitride  $\text{Fe}_4\text{N}$ , formation and free reaction energy, temperature 298 and 843 K.

### 1. Uvod

Železovi nitridi:  $\zeta$ -nitrid  $\text{Fe}_2\text{N}$ ,  $\epsilon$ -nitrid  $\text{Fe}_{2-3}\text{N}$  in  $\gamma$ -nitrid  $\text{Fe}_4\text{N}$  so že dalj časa kristalografsko natančno določeni<sup>1</sup>. Enako velja tudi za osnovne termodinamske količine  $\zeta$ -nitrida  $\text{Fe}_2\text{N}$  in  $\gamma$ -nitrida  $\text{Fe}_4\text{N}$ . S termodinamskega vidika so  $\epsilon$ -ni-

trid  $\text{Fe}_{2-3}\text{N}$ , ki je tehnološko vsaj toliko pomemben kot  $\gamma$ -nitrid  $\text{Fe}_4\text{N}$ , raziskovali v znatno manjšem obsegu kot oba ostala nitrida<sup>2,3</sup>. Določili niso (še) niti molske mase  $\epsilon$ -nitrida  $\text{Fe}_{2-3}\text{N}$ . Pri tem moramo upoštevati, da kinetiko nastajanja in rasti  $\epsilon$ -(karbo) nitridov izredno pogosto raziskujejo in da je o njej dosti znanega<sup>4,5</sup>.

Slika 1. Binarni fazni diagram železo-dušik<sup>6</sup>Figure 1. Binary phase diagram iron-nitrogen<sup>6</sup>

Molsko maso in osnovne termodinamske količine  $\epsilon$ -nitrida  $\text{Fe}_{2-x}\text{N}$  lahko ugotovimo z razmeroma enostavnimi računi. Kot izhodišče zanje služijo analize faznega diagrama železo-dušik (slika 1)<sup>6</sup> in novejšega diagrama odvisnosti reakcijske proste energije  $\Delta G_R = RT \ln p_{\text{N}_2}$  od temperature, v katerega je poleg premice za nastanek  $\gamma$ -nitrida  $\text{Fe}_3\text{N}$  vrisana tudi premica za nastanek  $\zeta$ -nitrida  $\text{Fe}_2\text{N}$  (slika 2).

## 2. Metodologija računa

### 2.1 Molska masa:

Spodnjo in zgornjo mejo snovnega deleža železa v  $\epsilon$ -nitridu  $\text{Fe}_{2-x}\text{N}$  dobimo na osnovi analize faznega diagrama železo-dušik<sup>6</sup> na sliki 1 zelo široko: pri 573 K (300°C) sega od 8.3 do 11.1% dušika. Mejna vrednost med enofaznim področjem  $\epsilon$ -nitrida  $\text{Fe}_{2-x}\text{N}$  in dvofaznim področjem nitridov  $\epsilon+\gamma$  znaša po gornjem diagramu pri 573 K (300°C) 8.3%, kar ustreza snovnemu deležu železa 2.77. Snovnemu deležu železa 3.0 ustreza 7.72% dušika, ki jih vsebuje dvofazna zmes nitridov  $\epsilon+\gamma$ . To zmes sestavlja pri 573 K od 75 do 80%  $\epsilon$ -nitrida  $\text{Fe}_{2-x}\text{N}$ . Nitrid  $\text{Fe}_3\text{N}$  nastopa kot homogena faza še le nad 763 K (490°C).

Zgornja mejna vrednost snovnega deleža železa v  $\epsilon$ -nitridu  $\text{Fe}_{2-x}\text{N}$  pri 298 K je najverjetnejše nižja od 2.7. Če v diagramu na sliki 1 ekstrapoliramo mejno linijo faznih področij  $\epsilon+\gamma$  in  $\epsilon$  s temperaturom 673 K (400°C) na 298 K (25°C), bo mejna vrednost dušika med navedenima področnjema zelo blizu 9% dušika. Ta vrednost ustreza snovnemu deležu železa 2.5.

Mejna vsebnost dušika med enofaznim področjem  $\epsilon$ -nitrida in dvofaznim področjem nitridov  $\epsilon + \zeta$  leži v gornjem diagramu na sliki 1 pri 11.1%, kar ustreza snovnemu deležu železa 2.03. Ta vrednost snovnega deleža železa je znatno bližja spodnji meji v empirični formuli za  $\epsilon$ -nitrid, zato je ne bomo korigirali.

Glede na to, da se lahko eksistenčno področje  $\epsilon$ -nitrida pod 573 K (300°C) znatno zoži (snovni delež železa v  $\epsilon$ -nitridu pada pod 2.7) bomo v nadalnjem obravnavali nitride  $\text{Fe}_{2-x}\text{N}$ ,  $\text{Fe}_{2.5}\text{N}$  in  $\text{Fe}_{2.3}\text{N}$  kot faze, ki obstajajo tudi pri 298 K (25°C) kot ena sama strukturalna varianca nitrida.

Molske mase  $\epsilon$ -nitridov izračunamo po relaciji:

$$M = 55.85n + 14.008 \quad (1)$$

pri čemer pomeni n – snovni delež železa, koeficienta 55,85 in

14,008 pa molsko maso železa oziroma dušika. Kot snovni delež n vstavljamo vrednosti 2.1, 2.3, in 2.5.

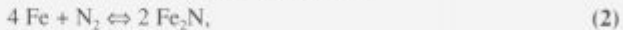
Vrednosti molske mase in vsebnosti dušika v nitridih  $\zeta$ ,  $\epsilon$  in  $\gamma$  so navedene v tabeli 1.

### 2.2 Termodynamische količine $\epsilon$ -nitridov:

Računi osnovnih termodinamskih količin  $\epsilon$ -nitridov  $\text{Fe}_{2-x}\text{N}$ ,  $\text{Fe}_{2.5}\text{N}$  in  $\text{Fe}_{2.3}\text{N}$  temeljijo na osnovi analize odvisnosti  $RT \ln p_{\text{N}_2}$  na nastanek  $\zeta$ -nitrida  $\text{Fe}_2\text{N}$  in  $\gamma$ -nitrida  $\text{Fe}_3\text{N}$  od temperature, ki je prikazana v diagramu na sliki 2.

Premici  $RT \ln p_{\text{N}_2}$ , ki omejujeta črtkano področje v tem diagramu, sta vzporedni in zelo blizu ena drugi.

Zgornja premica velja za reakcijo:



spodnja premica pa za reakcijo:



Če dokazemo, da sta premici vzporedni, lahko na osnovi aditivnosti molskih količin določimo tudi področje obstojnosti premic za  $\epsilon$ -nitride  $\text{Fe}_{2-x}\text{N}$  v diagramu na sliki 2 kot šop njima vzporednih premic znotraj črtkanega pasu.

Za dokazovanje linearne odvisnosti reakcijske proste energije  $\Delta G_R$  bomo uporabili zvezo:

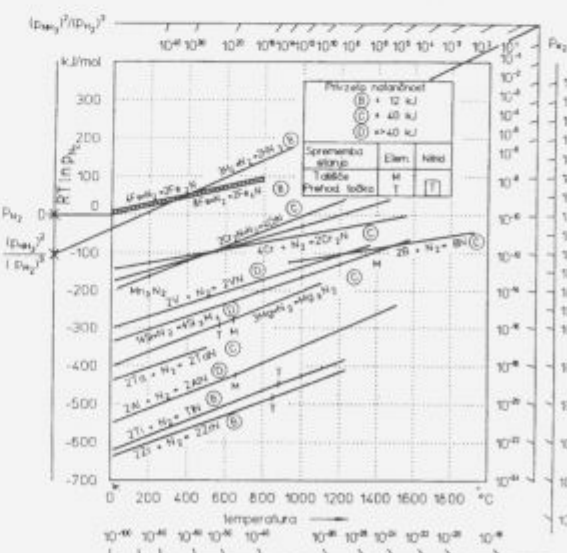
$$\Delta G_R = \Delta H_R \cdot T - \Delta S_R \quad (4)$$

pri čemer podajamo  $\Delta H_R$  v J,  $\Delta S_R$  v  $\text{JK}^{-1}$ , temperaturo T pa v K.

$\Delta H_R$  in  $\Delta S_R$  v izrazu (4) dobimo z regresijsko analizo reakcijskih termodinamskih količin  $\Delta H_R$ ,  $\Delta S_R$  in  $\Delta G_R$  za nastanek  $\zeta$ -nitrida  $\text{Fe}_2\text{N}$  (reakcija 2) in  $\gamma$ -nitrida  $\text{Fe}_3\text{N}$  (reakcija 3) pri temperaturah 298 K, 373 K, 473 K, 573 K, 673 K, 773 K in 843 K. Za račun reakcijske proste energije  $\Delta G_R$  za nastanek nitridov  $\zeta$  in  $\gamma$  pri standardnih pogojih in za temperature od 298 do 843 K uporabimo naslednja izraza:

$$\Delta G_R^\circ = \Delta H_R^\circ - 298^\circ \Delta S_R^\circ \text{ in} \quad (5)$$

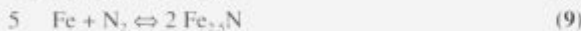
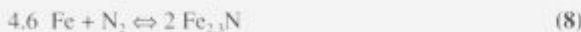
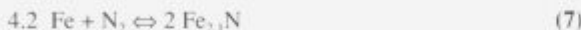
$$\Delta G_R^\circ = \Delta H_R^\circ \cdot T^\circ \Delta S_R^\circ = \\ = \Delta H_R^\circ + \int \Delta c_p \, dT \cdot T (\Delta S_R^\circ + \int \frac{\Delta c_p}{T} \, dT) \quad (6)$$

Slika 2. Odvisnost  $RT \ln p_{\text{N}_2}$  od temperature za nekatere kovinske nitrideFigure 2. Dependence  $RT \ln p_{\text{N}_2}$  on temperature for some metallic nitrides<sup>7</sup>

Vzperednost premic lahko najpreprosteje dokažemo z razliko reakcijskih prostih energij  $\Delta G_R$  med reakcijama (2) in (3) na temperaturah 298 in 843 K. Izračunana razlika med  $\Delta G_R$  pri določeni temperaturi je hkrati merilo za širino pasu med premicama za reakcijo (2) in (3).

V primeru, da sta premici za reakcijsko prosto energijo  $\Delta G_R$  za nastanek nitridov  $\zeta$  in  $\gamma$  vzporedni (t.j., razlika njunih prostih reakcijskih energij  $\Delta G_R$  je pri 298 K enaka razlike njunih reakcijskih prostih energij  $\Delta G_R$  ali pa je še spremenljiva), bomo po enačbah (5) in (6) izračunalni za  $\epsilon$ -nitride  $\text{Fe}_{2,1}\text{N}$ ,  $\text{Fe}_{2,3}\text{N}$  in  $\text{Fe}_{2,5}\text{N}$   $\Delta H_R$ ,  $\Delta S_R$  in  $\Delta G_R$ . V ta namen moramo poznati:

\* enačbe reakcij



\* vrednosti tvorbenih  $\Delta H^\circ_{298}$ ,  $\Delta S^\circ_{298}$ ,  $\Delta G^\circ_{298}$  in koeficiente a in b v izrazu za molarno toploto  $c_p$  za nitride  $\text{Fe}_{2,1}\text{N}$ ,  $\text{Fe}_{2,3}\text{N}$  in  $\text{Fe}_{2,5}\text{N}$ . Če predpostavimo, da velja za navedene termodinamske količine  $\epsilon$ -nitridov zakon aditivnosti molskih količin, lahko uporabimo metodo linearne interpolacije. Kot mejne vrednosti smo vzeli termodinamske količine\* za  $\zeta$ -nitrid  $\text{Fe}_2\text{N}$  in  $\gamma$ -nitrid  $\text{Fe}_4\text{N}$ , ki so podane v tabeli 3. Najprej izračunamo razlike mejnih vrednosti za posamezne termodinamske količine npr. za tvorbeno entalpijo  $\Delta H^\circ_{298}$ . Nato razlike mejnih vrednosti pomnožimo z interpolacijskim koeficientom, ki ga izračunamo po formuli:

$$X = \frac{\epsilon - 2}{2} \quad (10)$$

pri čemer pomeni  $\epsilon$  snovni delež železa v  $\epsilon$ -nitridu tj.  $\text{Fe}_{2,1}\text{N}$ ,  $\text{Fe}_{2,3}\text{N}$  in  $\text{Fe}_{2,5}\text{N}$ .

Vrednosti interpolacijskih koeficientov za nitride  $\text{Fe}_{2,1}\text{N}$ ,  $\text{Fe}_{2,3}\text{N}$  in  $\text{Fe}_{2,5}\text{N}$  so podane v tabeli 2. Dobljene produkte pristejemo k termodinamskim količinam za  $\zeta$ -nitrid  $\text{Fe}_2\text{N}$ . Rezultate teh računov tj. vrednosti za tvorbeno  $\Delta H^\circ_{298}$ ,  $\Delta S^\circ_{298}$ ,  $\Delta G^\circ_{298}$  ter koeficiente a in b v izrazu za molarno toploto za nitrid(e)  $\text{Fe}_{2,1}\text{N}$ ,  $\text{Fe}_{2,3}\text{N}$  in  $\text{Fe}_{2,5}\text{N}$  podajamo v tabeli 3.

Izračunane vrednosti reakcijskih  $\Delta H_R$ ,  $\Delta S_R$ ,  $\Delta G_R$  za en mol  $\epsilon$ -nitridov  $\text{Fe}_{2,1}\text{N}$ ,  $\text{Fe}_{2,3}\text{N}$  in  $\text{Fe}_{2,5}\text{N}$  pri temperaturah 298 in 843 K so poleg vrednosti za  $\zeta$ -nitrid  $\text{Fe}_2\text{N}$  in  $\gamma$ -nitrid  $\text{Fe}_4\text{N}$  podane v tabeli 4.

Vrednosti  $\Delta H_R$  in  $\Delta S_R$  v izrazu (4) za linearno odvisnost reakcijske proste energije  $\Delta G_R$  od temperature T so za nastanek 2 molov  $\zeta$ -nitrida  $\text{Fe}_2\text{N}$ , 2 molov  $\epsilon$ -nitridov  $\text{Fe}_{2,1}\text{N}$ ,  $\text{Fe}_{2,3}\text{N}$  in  $\text{Fe}_{2,5}\text{N}$  podane v tabeli 5.

V tabeli 6 so podane vrednosti za reakcijsko prosto energijo  $\Delta G_R$  za nastanek 2 molov zgoraj imenovanih nitridov pri temperaturah 298 in 843 K.

Reakcijska prosta energija  $\Delta G_R$  je izračunana na dva načina. V stolpcih z oznako 1 so podane vrednosti, izračunane s pomočjo izrazov (5) in (6), v stolpcih z oznako 2 pa so vrednosti, izračunane s pomočjo izraza (4). V stolpcih z oznako 3 je podana relativna razlika med vrednostmi za posamezen računski postopek glede na vrednost, dobljeno z izrazom (5) in /ali (6).

Vzperedne premice v diagramu na sliki 3 predstavljajo linearno odvisnost reakcijske proste energije  $\Delta G_R$  od temperature T (4) za nastanek imenovanih nitridov. Zaradi boljše preglednosti so v diagramu označene samo točke za vrednost reakcijske proste energije  $\Delta G_R$  pri temperaturah 298 in 843 K.

### 3. Rezultati računov

nitrid	molska masa (gr)	vsebnost dušika (%)
$\zeta = \text{Fe}_2\text{N}$	125,708	11,14
$\epsilon = \text{Fe}_{2,1}\text{N}$	131,293	10,67
$\epsilon = \text{Fe}_{2,3}\text{N}$	142,463	9,83
$\epsilon = \text{Fe}_{2,5}\text{N}$	153,633	9,12
$\gamma = \text{Fe}_4\text{N}$	237,408	5,90

Tabela 1. Molska masa in vsebnost dušika v nitridih  $\zeta$ ,  $\epsilon$  in  $\gamma$ .

nitrid	interpolacijski koeficient X
$\text{Fe}_{2,1}\text{N}$	0,05
$\text{Fe}_{2,3}\text{N}$	0,15
$\text{Fe}_{2,5}\text{N}$	0,25

Tabela 2. Interpolacijski koeficienti X za  $\epsilon$ -nitride  $\text{Fe}_{2,1}\text{N}$ ,  $\text{Fe}_{2,3}\text{N}$  in  $\text{Fe}_{2,5}\text{N}$ .

nitrid	$\Delta H^\circ_{298}$ [kJ mol <sup>-1</sup> ]	$\Delta S^\circ_{298}$ [J K <sup>-1</sup> mol <sup>-1</sup> ]	$\Delta G^\circ_{298}$ [kJ mol <sup>-1</sup> ]	a	b
$\zeta = \text{Fe}_2\text{N}$	-3,77	101,32	-33,96	62,43	25,50
$\epsilon = \text{Fe}_{2,1}\text{N}$	-4,32	104,05	-35,13	64,92	25,92
$\epsilon = \text{Fe}_{2,3}\text{N}$	-4,84	109,55	-37,48	69,92	26,78
$\epsilon = \text{Fe}_{2,5}\text{N}$	-5,55	115,03	-39,83	74,91	27,63
$\gamma = \text{Fe}_4\text{N}$	-10,89	156,17	-57,43	112,37	34,16

Tabela 3. Izračunane tvorbene  $\Delta H^\circ_{298}$ ,  $\Delta S^\circ_{298}$ ,  $\Delta G^\circ_{298}$  in koeficiente a in b za specifično molarno toplopo  $c_p$  za nitride  $\zeta$ ,  $\epsilon$  in  $\gamma$ .

reakcija	temperatura T [K]					
	298	843	298	843	298	843
$\Delta H_R$ [kJ mol <sup>-1</sup> ]	$\Delta S_R$ [J K <sup>-1</sup> mol <sup>-1</sup> ]	$\Delta G_R$ [kJ mol <sup>-1</sup> ]	$\Delta H_R$ [kJ mol <sup>-1</sup> ]	$\Delta S_R$ [J K <sup>-1</sup> mol <sup>-1</sup> ]	$\Delta G_R$ [kJ mol <sup>-1</sup> ]	$\Delta H_R$ [kJ mol <sup>-1</sup> ]
$4\text{Fe} + \text{N}_2 \rightleftharpoons 2\text{Fe}_2\text{N}$	-3,77	-48,84	10,79	-5,57	-49,11	36,83
$4,2\text{Fe} + \text{N}_2 \rightleftharpoons 2\text{Fe}_{2,1}\text{N}$	-4,12	-48,62	10,44	-5,18	-49,42	36,51
$4,6\text{Fe} + \text{N}_2 \rightleftharpoons 2\text{Fe}_{2,3}\text{N}$	-4,84	-48,75	9,67	-6,79	-50,02	35,82
$5\text{Fe} + \text{N}_2 \rightleftharpoons 2\text{Fe}_{2,5}\text{N}$	-5,55	-48,69	8,94	-7,52	-50,85	35,38
$8\text{Fe} + \text{N}_2 \rightleftharpoons 2\text{Fe}_4\text{N}$	-10,89	-48,34	3,52	-15,25	-55,35	31,40

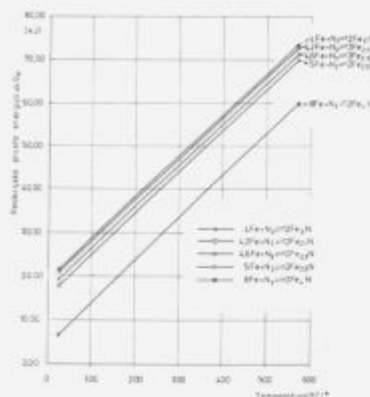
Tabela 4. Reakcijske  $\Delta H_R$ ,  $\Delta S_R$  in  $\Delta G_R$  na temperaturah 298 in 843 K za nitride  $\zeta$ ,  $\epsilon$  in  $\gamma$ .

reakcija	$\Delta H_R$ [J]	$\Delta S_R$ [J K <sup>-1</sup> ]
$4\text{Fe} + \text{N}_2 \rightleftharpoons 2\text{Fe}_2\text{N}$	-6817	-95,3
$4,2\text{Fe} + \text{N}_2 \rightleftharpoons 2\text{Fe}_{2,1}\text{N}$	-7656	-95,6
$4,6\text{Fe} + \text{N}_2 \rightleftharpoons 2\text{Fe}_{2,3}\text{N}$	-9239	-95,7
$5\text{Fe} + \text{N}_2 \rightleftharpoons 2\text{Fe}_{2,5}\text{N}$	-10822	-96,0
$8\text{Fe} + \text{N}_2 \rightleftharpoons 2\text{Fe}_4\text{N}$	-22647	-98,1

Tabela 5.  $\Delta H_R$  in  $\Delta S_R$  v izrazu (4) za linearno odvisnost  $\Delta G_R$  od temperature T območju od 298 do 843 K za nitride  $\zeta$ ,  $\epsilon$  in  $\gamma$ .

reakcija	reakcijska prosta energija $\Delta G_R$ [kJ] pri temperaturah					
	298	843	298	843	298	843
	1	2	3	1	2	3
$4\text{Fe} + \text{N}_2 \rightleftharpoons 2\text{Fe}_2\text{N}$	10,79	10,79	0,05	36,82	36,76	0,17
$4,2\text{Fe} + \text{N}_2 \rightleftharpoons 2\text{Fe}_{2,1}\text{N}$	10,43	10,42	0,10	36,56	36,47	0,25
$4,6\text{Fe} + \text{N}_2 \rightleftharpoons 2\text{Fe}_{2,3}\text{N}$	9,67	9,64	0,26	35,82	35,72	0,28
$5\text{Fe} + \text{N}_2 \rightleftharpoons 2\text{Fe}_{2,5}\text{N}$	8,94	8,89	0,53	35,18	35,05	0,36
$8\text{Fe} + \text{N}_2 \rightleftharpoons 2\text{Fe}_4\text{N}$	3,52	3,29	5,38	30,40	30,03	1,23

Tabela 6. Vrednosti  $\Delta G_R$  pri temperaturah 298 in 843 K po računih (5) in (6) in kot linearne funkcije (4) za nitride  $\zeta$ ,  $\epsilon$  in  $\gamma$ .



Slika 3. Temperaturna odvisnost reakcijske proste energije  $\Delta G_R$  za nitride  $\zeta$ ,  $\epsilon$  in  $\gamma$

Figure 3. The temperature dependence of reactive free energy  $\Delta G_R$  for iron nitrides  $\zeta$ ,  $\epsilon$  in  $\gamma$

#### 4. Analiza rezultatov in diskusija

Absolutna razlika med reakcijskima prostima energijama  $\Delta G_R$  za reakcijo (2) in (3) znaša pri temperaturi 298 K 14,53 kJ<sup>1</sup>, pri 843 K pa 12,85 kJ<sup>2</sup>.

- <sup>1</sup> – izračunamo s pomočjo izraza (5)
- <sup>2</sup> – izračunamo s pomočjo izraza (6)

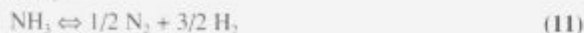
Če bi bili premici vzporedni, bi morali biti razliki proste energije  $\Delta G_R$  med reakcijama (2) in (3) pri temperaturah 298 in 843 K enaki, v našem primeru pa se razlikujeta za razred velikosti 12%, kar je še sprejemljivo. To velja toliko bolj, če primerjamo razred velikosti razlik proste energije  $\Delta G_R$  med reakcijama (2) in (3) pri temperaturah 298 in 843 K z absolutno vrednostjo natančnosti razreda  $B^7$  t.j. 12 kJ. Torej lahko privzamemo, da sta premici za reakcijsko prosto energijo  $\Delta G_R$  za nitrida  $\zeta$ - $\text{Fe}_2\text{N}$  in  $\gamma\text{-Fe}_2\text{N}$  med seboj vzporedni, kar pomeni, da bodo njima vzporedne tudi premice za nastanek  $\epsilon$ -nitridov  $\text{Fe}_{2,1}\text{N}$ ,  $\text{Fe}_{2,3}\text{N}$  in  $\text{Fe}_{2,5}\text{N}$ .

Premice za nastanek nitridov  $\epsilon$ -nitridov  $\text{Fe}_{2,1}\text{N}$ ,  $\text{Fe}_{2,3}\text{N}$  in  $\text{Fe}_{2,5}\text{N}$  po reakcijah (7), (8) in (9) so v diagramu na sliki 3 tik pod premico za nastanek  $\zeta$ -nitrida  $\text{Fe}_2\text{N}$ , kar je v skladu z možnostjo transformacije <sup>8</sup>ortorombičnega  $\zeta$ -nitrida v heksagonalni  $\epsilon$ -nitrid.  $\zeta$ -nitrid preide namreč pri temperaturah nad 500°C v prisotnosti ( $\text{Z}$ ) zelo majhnega deleža vodika v  $\epsilon$ -nitrid.

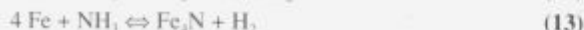
Pozitivne vrednosti  $\Delta G_R$  v tabeli 4. kažejo na to, da z molekularnim dušikom  $\text{N}_2$  ni mogoče nitrirati železovih zlitin. Disociacijski tlaki  $p_{\text{N}_2}$  v diagramu na sliki 2 to samo potrjujejo.

S tehnološkega vidika je bolj smiselno raziskovati tiste reakcijske sisteme, pri katerih se sprošča monoatomarni dušik, saj lahko le ta difundira v  $\text{FeO}$ .

Monoatomarni dušik nastaja pri termični disociaciji amonika  $\text{NH}_3$ :



Če se stejemo enačbo (2) ozir. (3) ter enačbo (11), dobimo sistem:



V literaturi<sup>7</sup> je za  $\Delta G_R$  podana naslednja temperaturna odvisnost:

za reakcijo (12):

$$\Delta G_R = 49496 - 67T \text{ (kJ/mol)} \quad (14)$$

za reakcijo (13):

$$\Delta G_R = 38519 - 61,5T \text{ (kJ/mol)} \quad (15)$$

Za razliko od reakcij z dušikom je  $\Delta G_R$  pri temperaturi 843 K negativna in znaša za reakcijo (12) -6,98 kJ/mol, za reakcijo (13) pa -13,36 kJ/mol. Absolutna razlika reakcijskih prostih energij  $\Delta G_R$  med izrazoma (14) in (15) znaša za temperaturo 298 K 9,35 kJ/mol, za temperaturo 843 K pa 6,38 kJ/mol. Njuna relativna razlika za temperaturi 298 in 843 K presega 30 oziroma 45%, kar je preveč za dokazovanje vzporednosti. Ker je področje med premicama za odvisnost reakcijske proste energije  $\Delta G_R$  od temperature, definiranimi z izrazoma (14) in (15) še ožje kot pri reakcijah železa  $\text{FeO}$  z dušikom (2) in (3), je dokaj verjetno, da ležijo tudi v tem primeru premice za odvisnost reakcijske proste energije  $\Delta G_R$  od temperature pri nastajanju  $\epsilon$ -nitridov  $\text{Fe}_{2,1}\text{N}$ ,  $\text{Fe}_{2,3}\text{N}$  in  $\text{Fe}_{2,5}\text{N}$  tesno ena nad drugo ne glede na to ali so vzporedne ali ne.

#### 5. Zaključek

Zelo majhne razlike v velikosti termodinamskih količin med posameznimi modifikacijami železovih nitridov prav gotovo predstavljajo veliko oviro pri eksperimentih. Zato lahko dobimo širšo, kvantitativno bolj izostreno predstavo o termodinamskih količinah  $\epsilon$ -nitrida (nitridov) le z računi, ki temeljijo na aditivnosti osnovnih molskih termodinamskih količin. Rezultate računov vzamemo kot orientacijske vrednosti, ki pa zaradi zelo ozkega področja odvisnosti reakcijske proste energije  $\Delta G_R$  od temperature, ne morejo bistveno odstopati od dejanskih vrednosti. Torej lahko s precejšnjo gotovostjo postavimo, da ima  $\epsilon$ -nitrid kot intersticijalna spojina prehodne kovine z dušikom s termodinamskega vidika podobne karakteristike kot trdna raztopina. V tem smislu bi bilo treba definirati tudi molsko maso in termodinamske količine  $\epsilon$ -nitrida (nitridov).

#### 6. Literatura

- <sup>1</sup> J. Moore: *Chemical Metallurgy*, Mineral Resources Center, University of Minnesota, Minneapolis, 1963.
- <sup>2</sup> I. Barin, O. Knacke, O. Kubaschewsky: *Thermochemical properties of inorganic substances*, Springer Berlin, Heidelberg, New York; Stahleisen; Düsseldorf, 1973, 1977, str. 300.
- <sup>3</sup> A. Fernandez Guillermot, H. Du: Thermodinamic Analysis of the Fe N System Using the Compound-Energy Model with Predictions of the Vibrational Entropy, *Z. Metallkd.* 85 (1994), 3, 154-163.
- <sup>4</sup> M. A. J. Somers, E. J. Mittemeijer: Verbindungs-schichtbildung während des Gasnitrierens und des Gas- und Salzbadnitrocarburierens, *Härterei-Technische Mitteilungen HTM*, 47, (1992), 1, 5-13.
- <sup>5</sup> B. Langenhan, H.-J. Spies: Einfluss der Nitrierbedingungen auf Morphologie und Struktur von Verbindungsschichten auf Vergütungsstählen, *Härterei-Technische Mitteilungen HTM*, 47, (1992), 6, 337-343.
- <sup>6</sup> T. B. Massalski: *Binary Alloy Phase Diagrams*, ASM International 1990, 1. del, 2. izdaja, str. 1729.
- <sup>7</sup> F. Neumann: Der Potentialbegriff und seine Aussage im Rahmen thermochemischer Prozesse, *Härterei-Technische Mitteilungen HTM*, 33 (1978), 4, 192-200
- <sup>8</sup> B. Prenosil: Gefüge der badnitrierten und in Ammoniak-atmosphäre mit Kohlenwasserstoffzusatz hergestellten Schichten, *Härterei-Technische Mitteilungen HTM*, 20 (1965) 1, 41-49.